

2 / 12

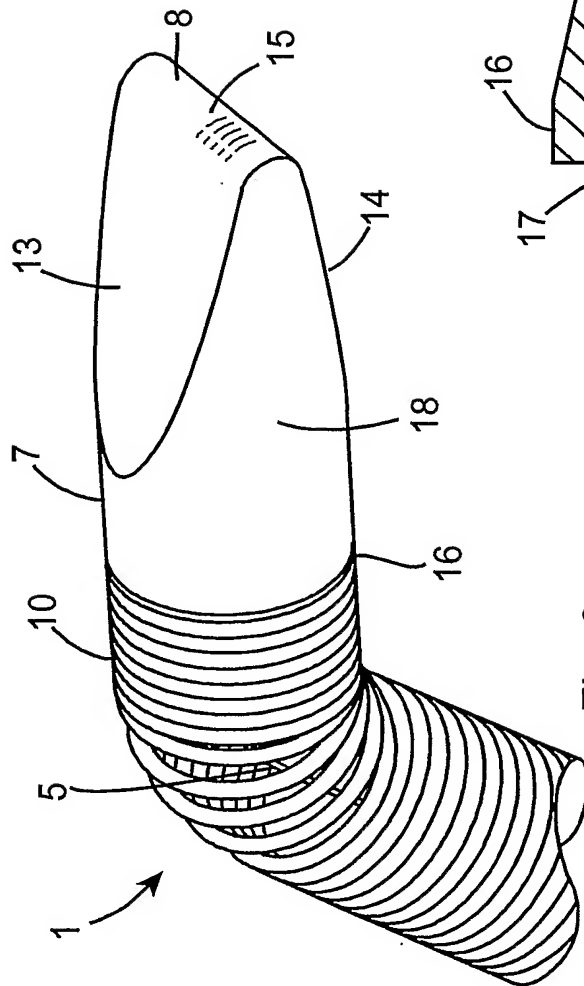


Fig. 3

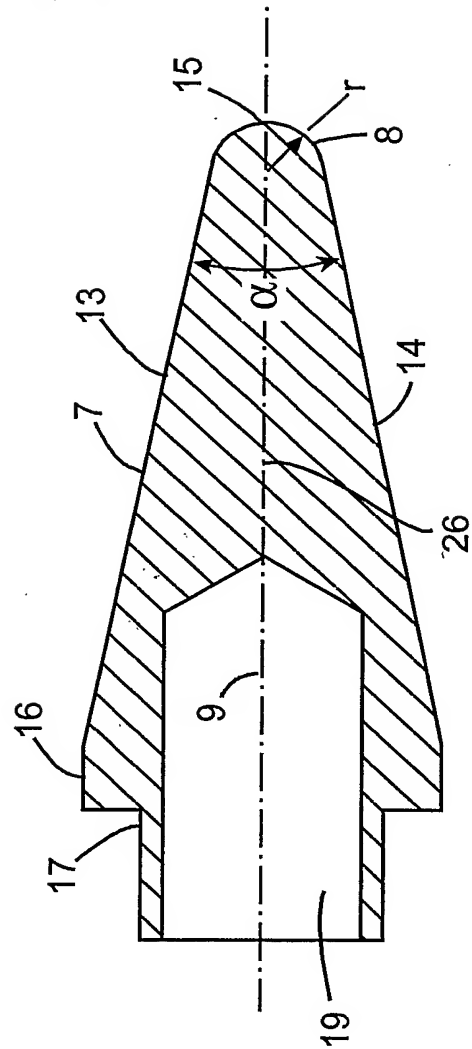


Fig. 7

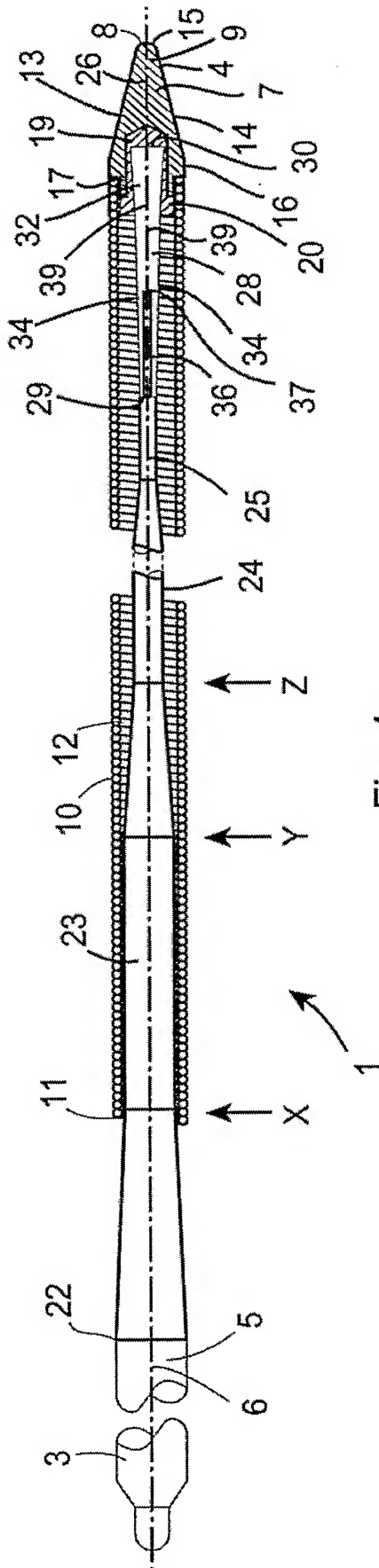


Fig. 4

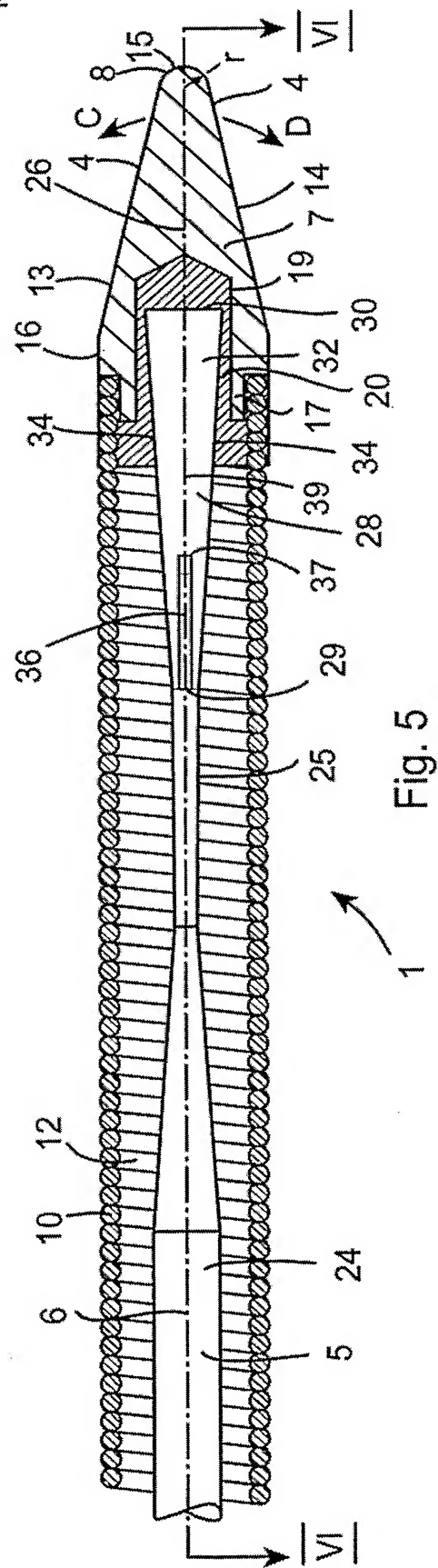
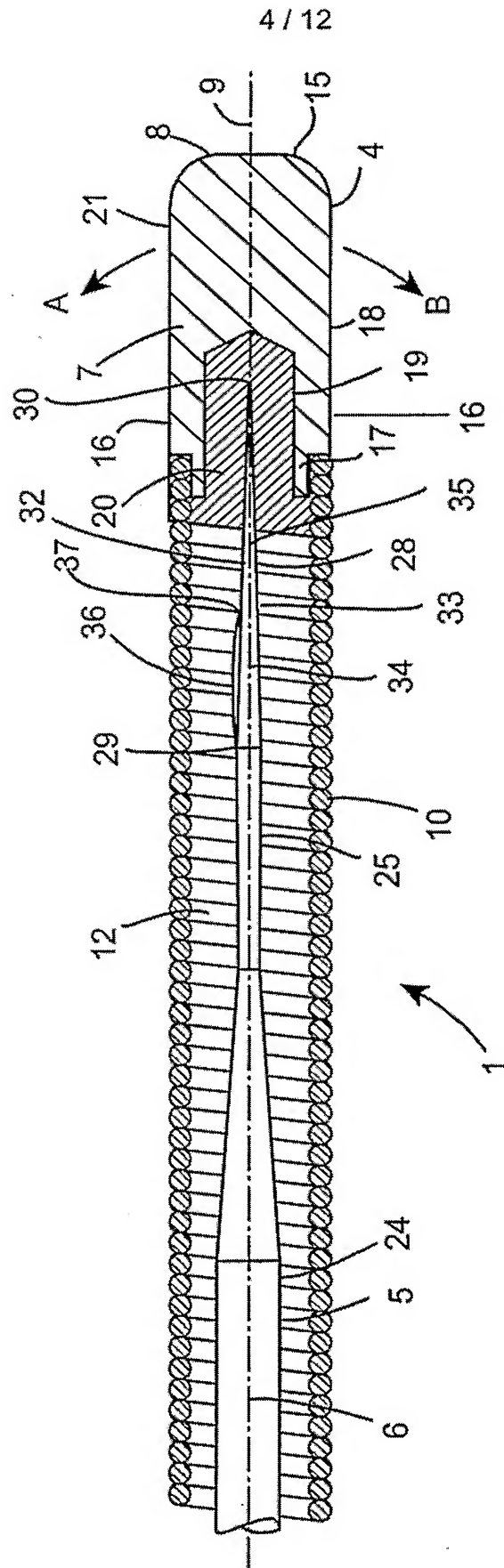


Fig. 5



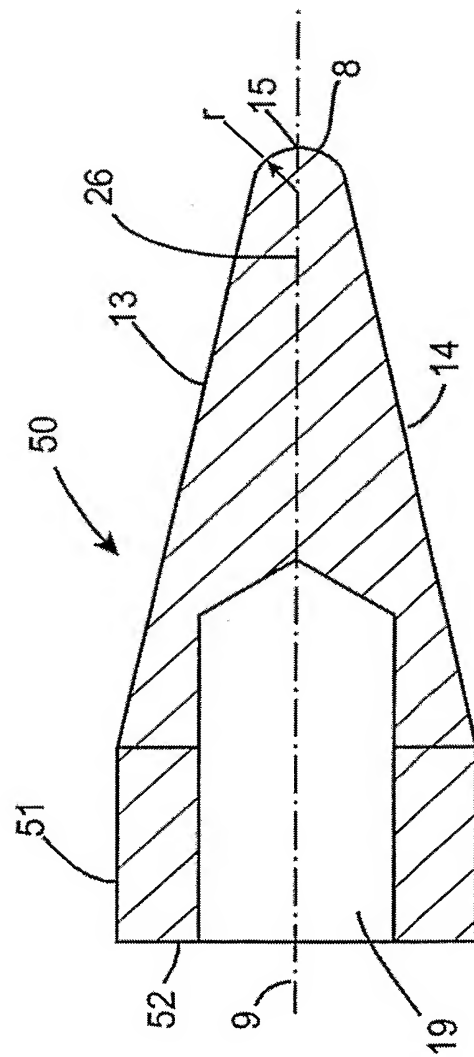


Fig. 11

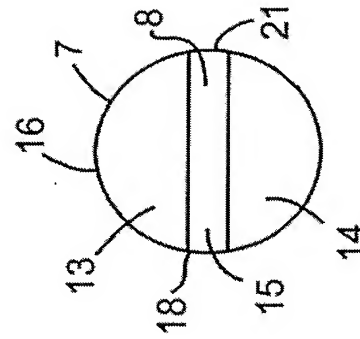
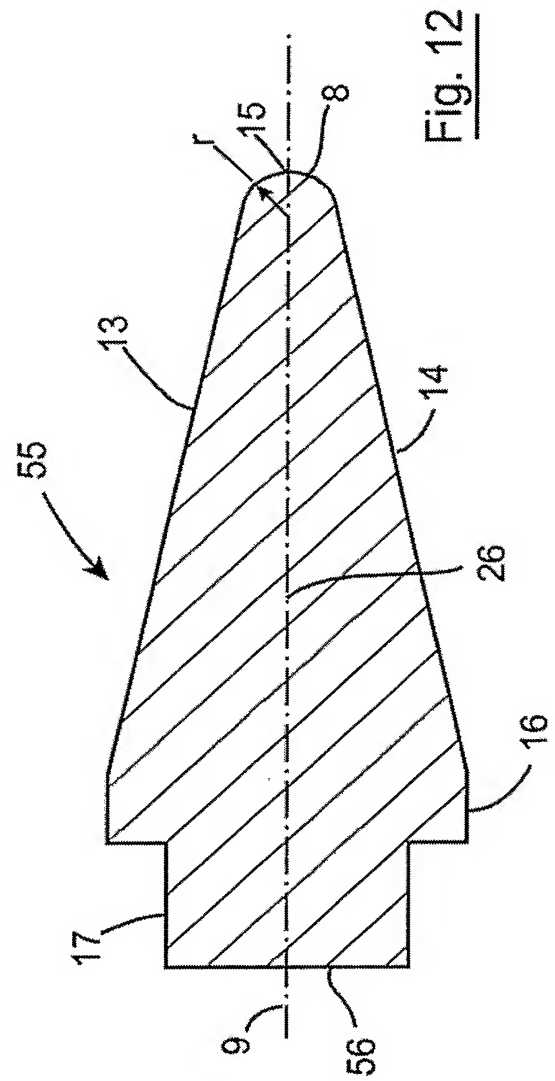
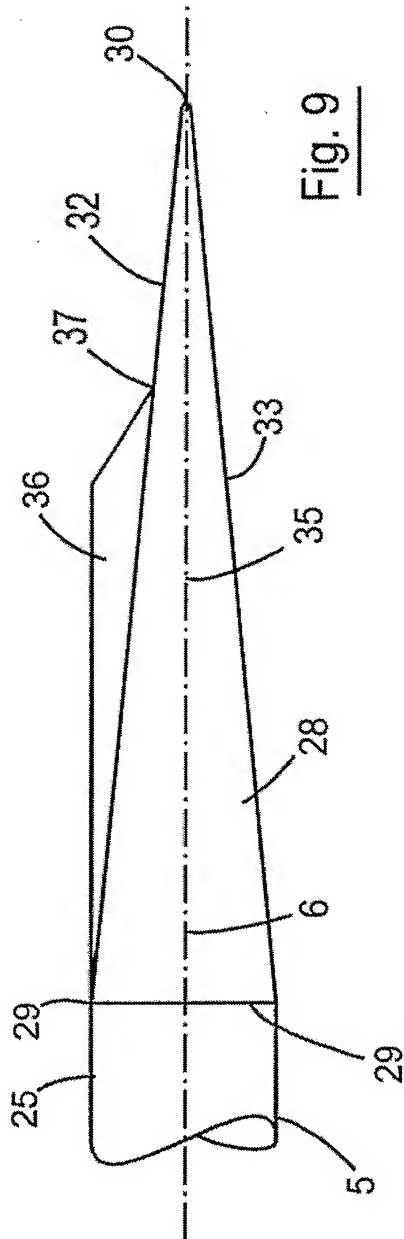


Fig. 8



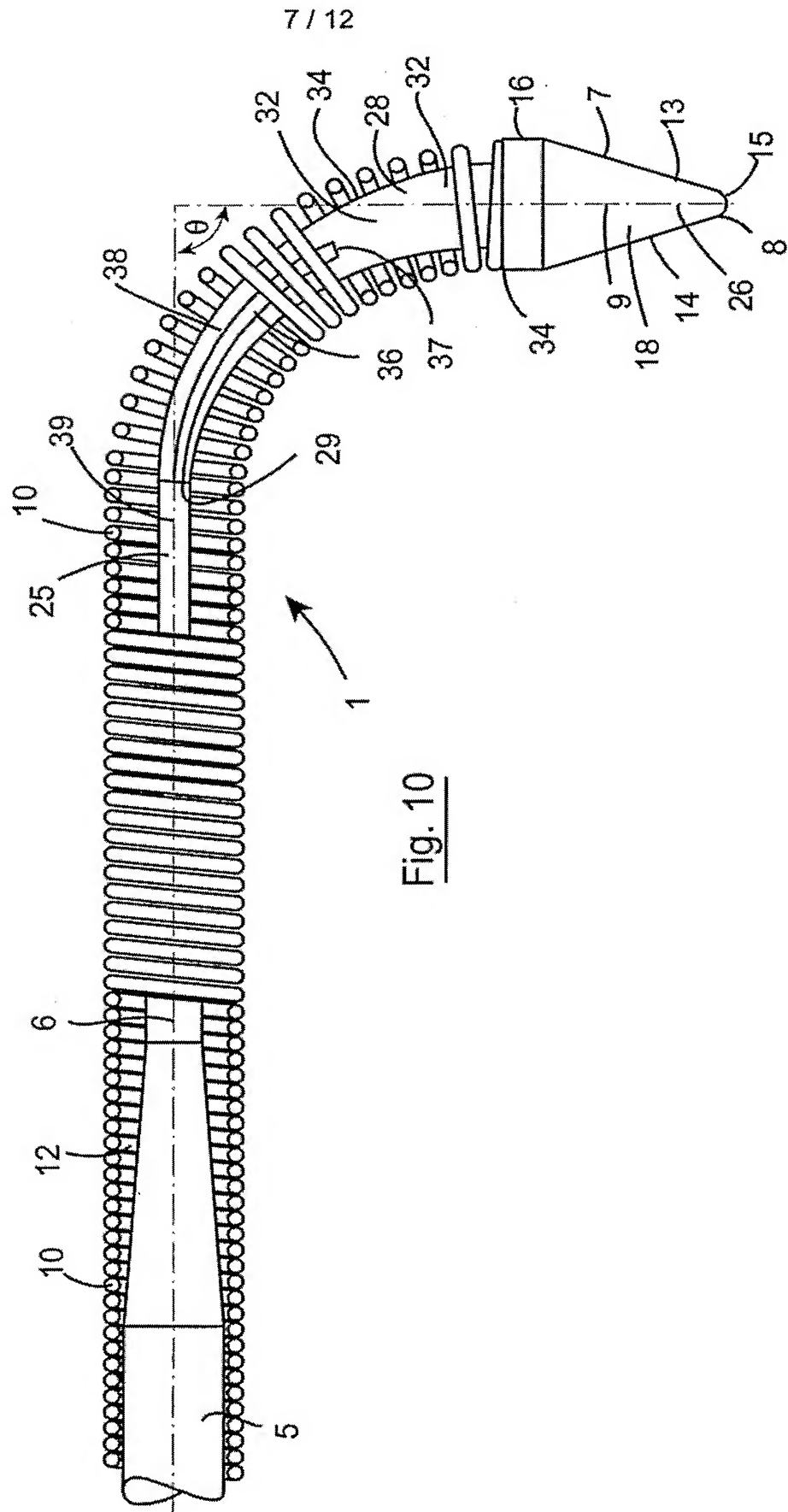


Fig. 10

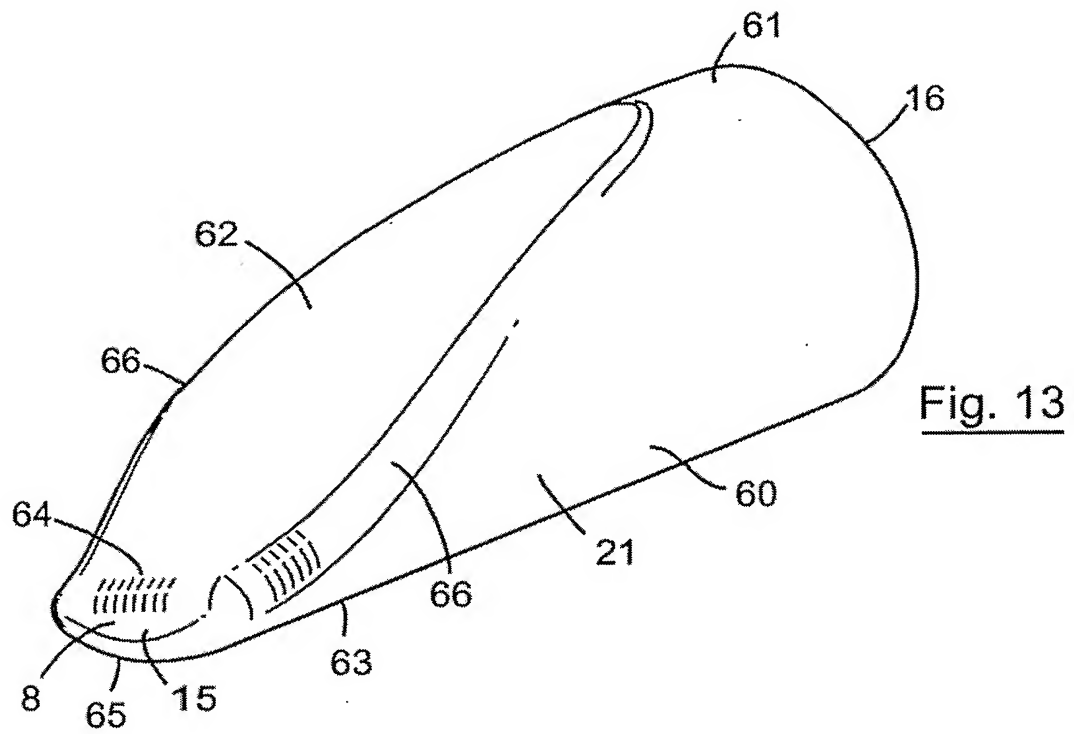


Fig. 13

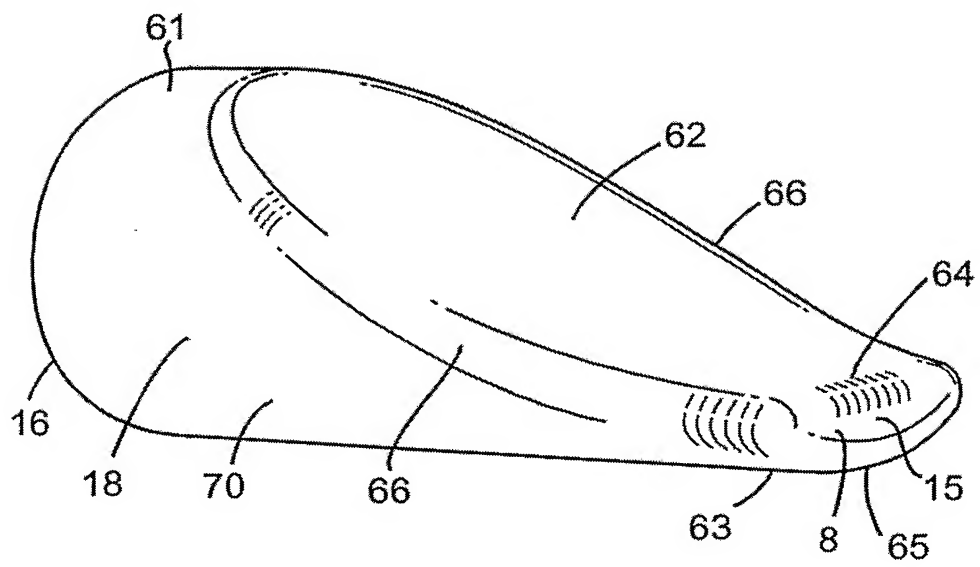
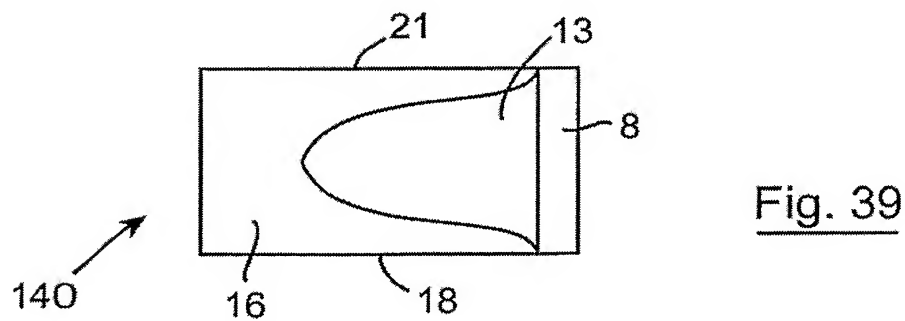
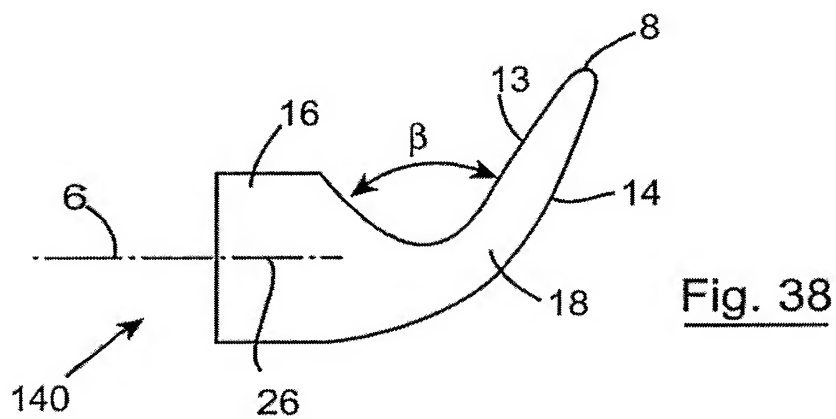
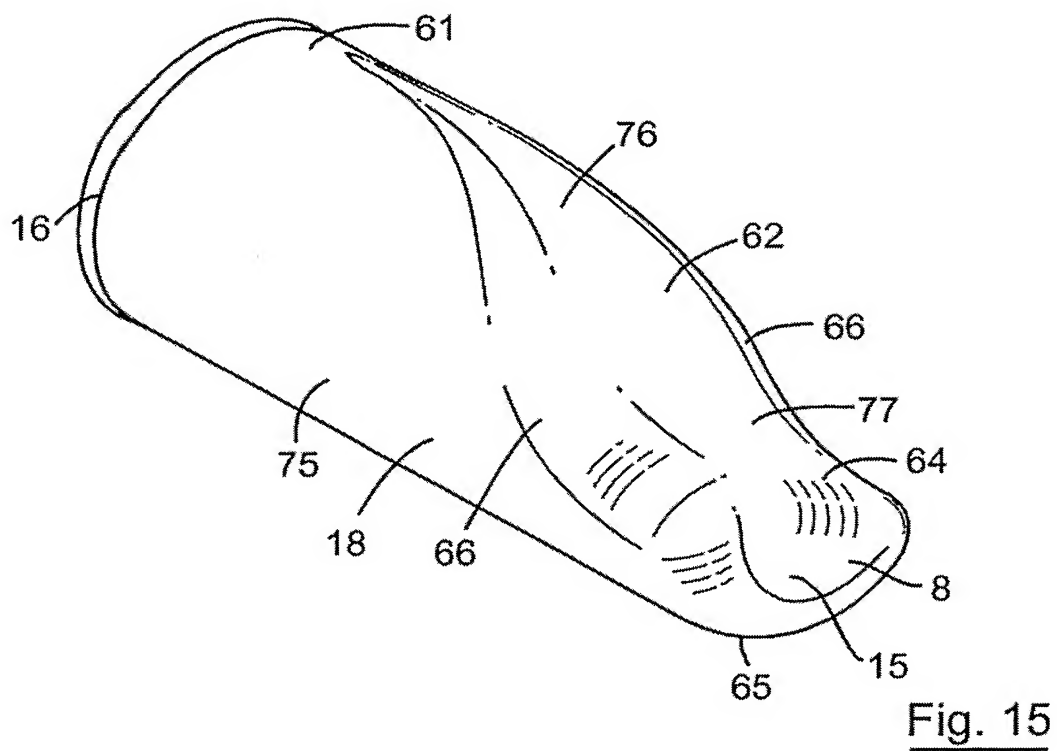
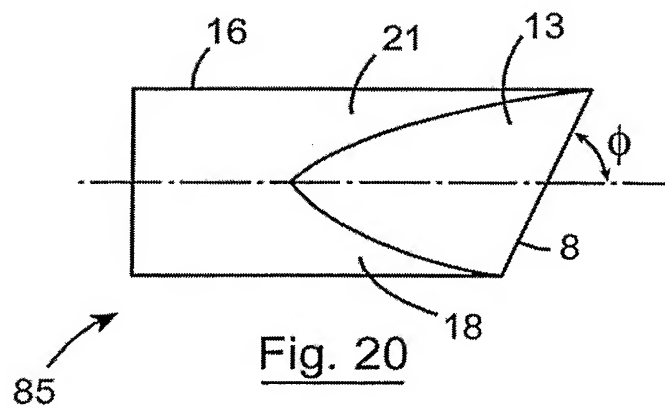
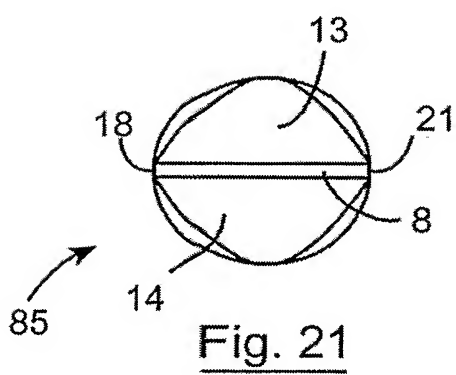
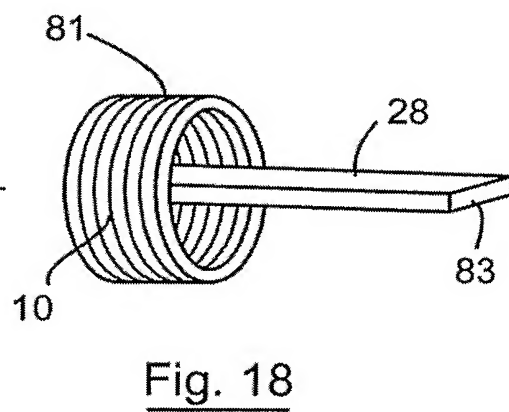
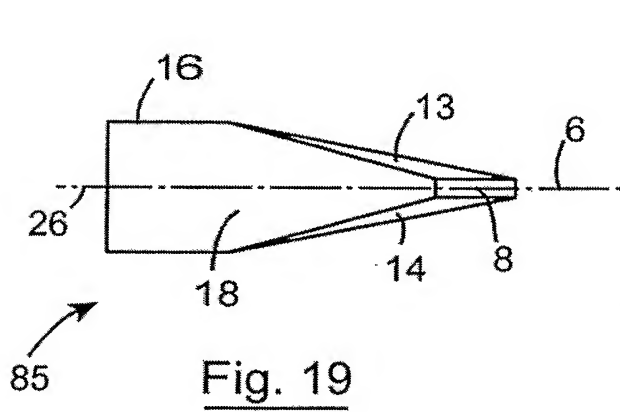
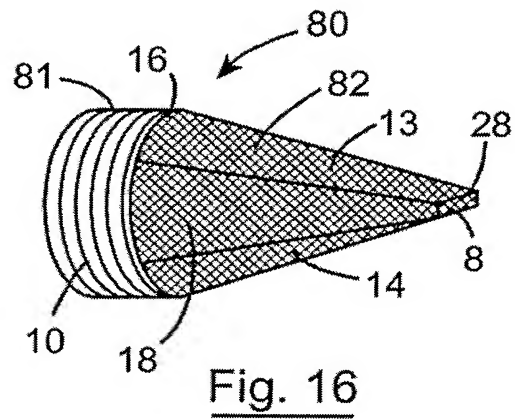
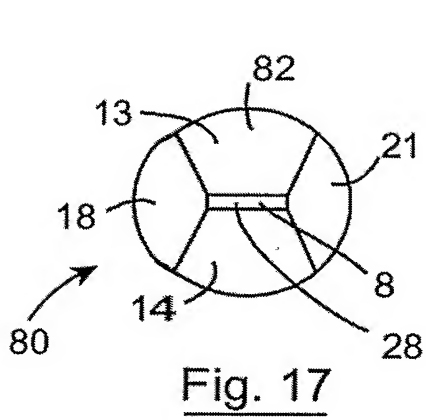


Fig. 14







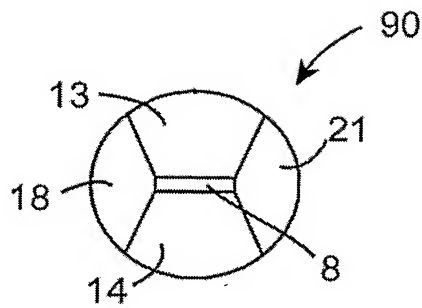


Fig. 23

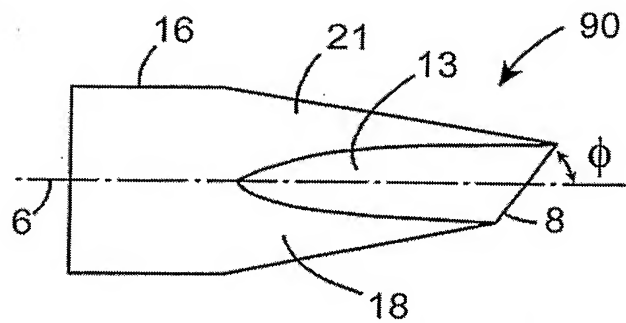


Fig. 22

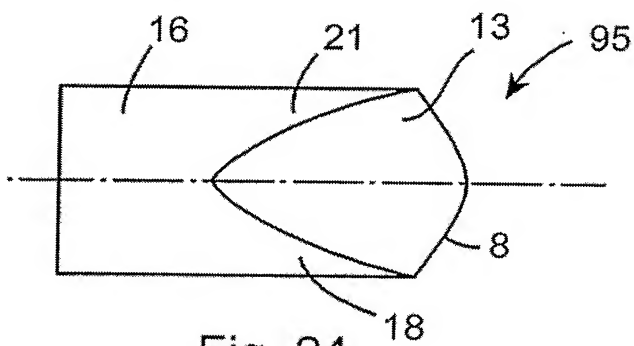


Fig. 24

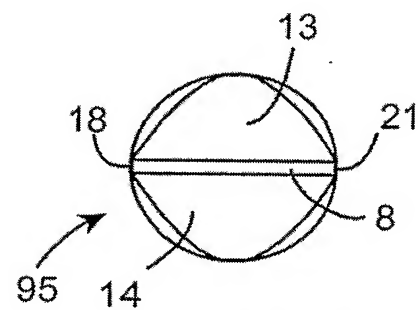


Fig. 25

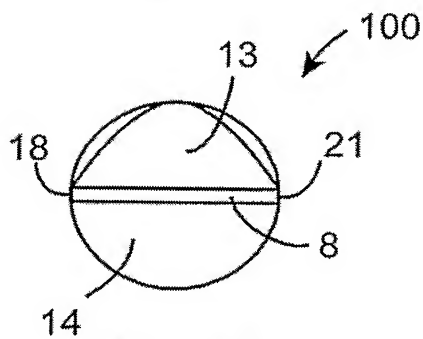


Fig. 27

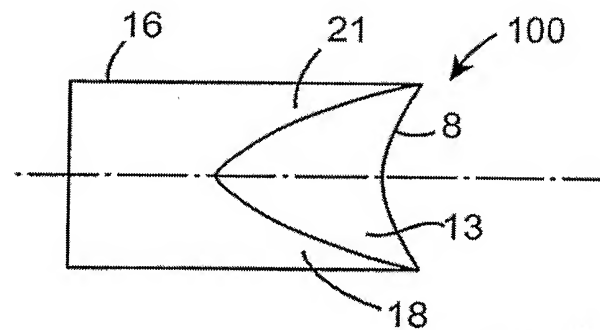


Fig. 26

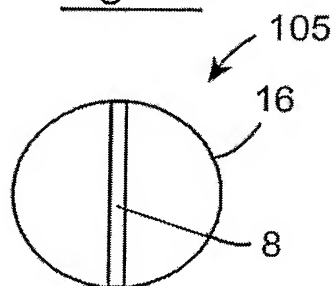


Fig. 29

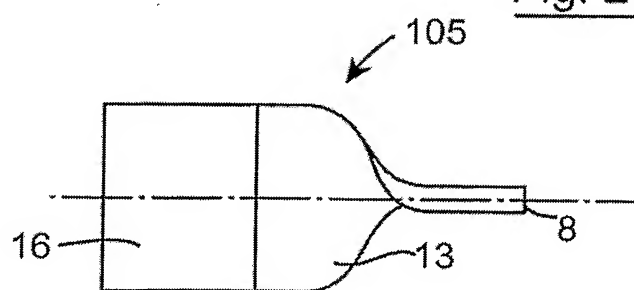


Fig. 28

12 / 12

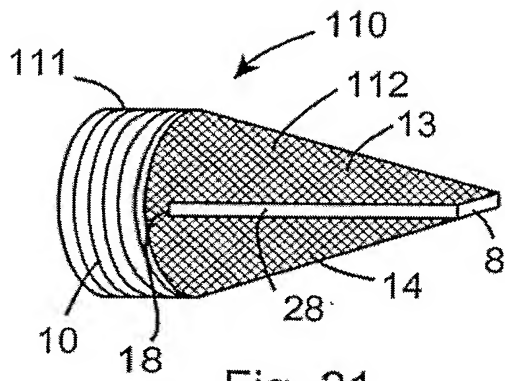


Fig. 31

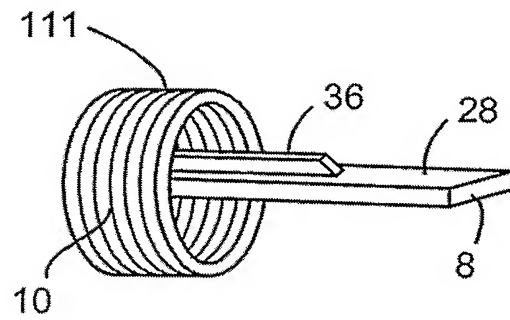


Fig. 32

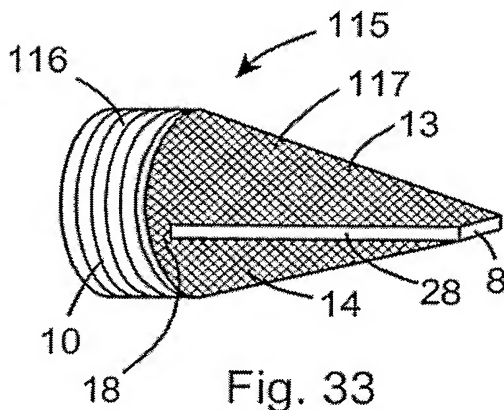


Fig. 33

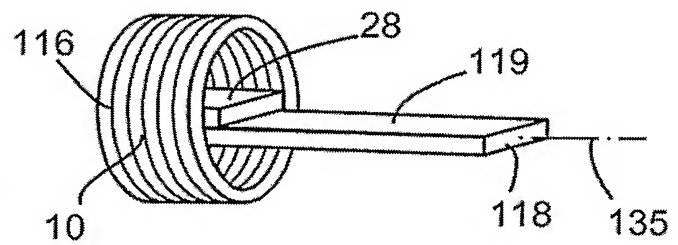


Fig. 34

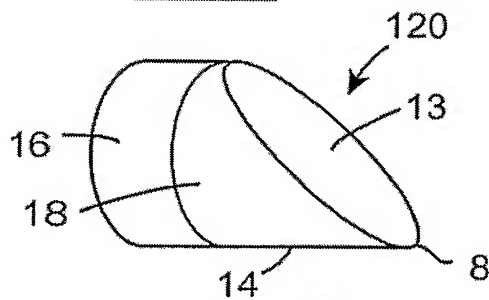


Fig. 35

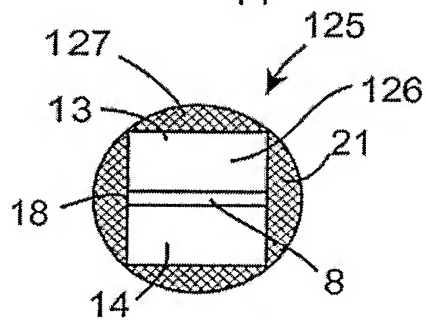


Fig. 37

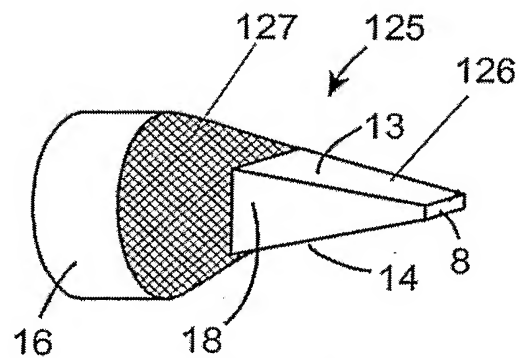


Fig. 36